

# Helicoid 部材の力学的特性について

九州大学 正員 山崎徳也

" 学生員 太田俊昭

" " ○後藤栄一

緒言 著者らはさきに軸線が3次元的に変化する空間部材を対象としてエネルギー法に基づく解析理論の一 般的な確立を計り、さらにこれをHelicoid部材に適用して同部材をもつ立体骨組構造物の応力解析に関する一連の研究を行って来た。その際、軸力およびせん断力の影響を無視して計算を進めたので、本論文ではこれらの要素を更めて導入し、数値計算を行って Helicoid部材をもつ立体ラーメンの合理的設計を資すべく、その力学的特性に関する一般的考察を試みた。

## 1. 变形公式

軸線が3次元的に変化する空間部材の変形公式は既に一般3次元たわみ角 $\psi$ <sup>1)</sup>として説明したが、軸力およびせん断力の導入過程を明白にするためにとの概略を以下に列記する。

すなはち、基本系として図-1のとおり片持梁ABを想定し、部材の特性に応じて適宜選んだ定点Gと自由端Aを $I=\infty$ の剛性 $2)$ 連結し、G点にモーメントベクトル $M_g$ および反カゲベクトル $F_g$ を不静定力として働かせる。

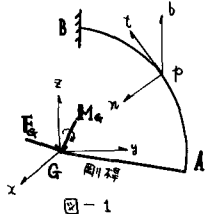


図-1

表-1			
$e_x$	$e_y$	$e_z$	
$e_t$	$e_1$	$m_1$	$n_1$
$e_n$	$e_2$	$m_2$	$n_2$
$e_b$	$e_3$	$m_3$	$n_3$

ここでG点に直角デカルト座標(x, y, z)を、部材の任意点Pに右手系流動座標(t, n, b)を採用する。これらの座標に関する単位ベクトル $e$ の関係は表-1の関係が成立する。

図-1において部材上の任意点Pにおけるモーメントおよびカゲベクトルはそれぞれ次のとく表わされる。

$$M_p = M_g - \mathbf{r} \times \mathbf{F}_g + \mathbf{C}_p, \quad \mathbf{F}_p = \mathbf{F}_g + \mathbf{P}_p \quad (1)$$

( $\therefore \mathbf{r} = \overrightarrow{Gp}$ : 任意点Pの位置ベクトル,  $\mathbf{C}_p$ : 荷重によるや点のモーメントベクトル,  
 $\mathbf{P}_p$ : 荷重によるや点のカゲベクトル)

式(1)より部材全体に生じる歪エネルギー $W$ は

$$W = S_0 / 2EI_0 \int_0^L \left\{ (M_p)(D)(M_p)^T + (\ell_o \mathbf{F}_p)(D')(\ell_o \mathbf{F}_p)^T \right\} dS / S_0 \quad (2)$$

$\therefore \therefore (M_p) = (M_p^t, M_p^n, M_p^b), \quad (\ell_o \mathbf{F}_p) = (\ell_o \mathbf{F}_p^t, \ell_o \mathbf{F}_p^n, \ell_o \mathbf{F}_p^b)$

$$(D) = \begin{pmatrix} EI_0/GJ & 0 & 0 \\ 0 & EI_0/EI_m & 0 \\ 0 & 0 & EI_0/EI_b \end{pmatrix} \quad (D') = \begin{pmatrix} EI_0/EAe_t^2 & 0 & 0 \\ 0 & k_m EI_0/GAe_t^2 & 0 \\ 0 & 0 & k_b EI_0/GAe_b^2 \end{pmatrix}$$

ただし、省字Tは転置行列を示す記号で、GJ: 構成剛性

E: マング率,  $I_m$ ,  $I_b$ ,  $I_o$ :  $t$ ,  $n$ ,  $b$ 軸に関する慣性モーメントおよび標準慣性モーメント

$K_m, K_b$ :  $a, b$  軸にに関する断面定数,  $S_0, l_0$ : 部材高および無次元化のための標準長さ  
 $A$ : 断面積

いま G 点の変形ベクトルを  $\bar{U}_G$  と表わせば、Castigliano の定理により次の式とく求められる。

$$(\bar{U}_G) = (\partial \bar{w} / \partial Q_G) \quad (3)$$

$$\text{ただし } (Q_G) = \begin{pmatrix} M_G \\ F_G \end{pmatrix}$$

式(3)を  $\Sigma V(2)$  を代入すると整理すれば結局次式をうる。

$$(\bar{U}_G) = S_0/EI_0 \{ (A)(Q_G) + (H) \} \quad (4)$$

ここで  $(A)$  : 部材形状による定数行列,  $(H) = (L, T)^T = \{(L^x L^y L^z), (T_x T_y T_z)\}$

A, B 端と G 点との回転角および変位ベクトルの間に、一般に次式が成立する。

$$(Q_G) = \Theta_A - \Theta_B, \quad \Delta_G = \Delta_A - \Delta_B + F_A \times \Theta_A - F_B \times \Theta_B \quad (5)$$

ただし  $F_A, F_B$  はそれぞれ  $\overrightarrow{GA}, \overrightarrow{GB}$  なる位置ベクトルである。

式(5)を行列表示して

$$(\bar{U}_G) = (b)(\bar{U}_A, \bar{U}_B)^T \quad (6)$$

ここで  $(b)$  は部材形状による定数行列で詳細はす次の(1)を参照のこと。

式(4), (6)により不静定力  $(Q_G)$  が次の式とく定まる。

$$(Q_G) = EI_0(A)^{-1}(b)(\bar{U}_A, \bar{U}_B)^T - (A)^{-1}(H), \quad \text{ただし } K_0 = I_0/S_0. \quad (7)$$

一方材端 A, B の一般力ベクトルは  $(Q_A) = (Q)_{(p=A)}, (Q_B) = -(Q)_{(p=B)}$  と表わされるから、これも行列表示して

$$\begin{pmatrix} Q_A \\ -Q_B \end{pmatrix} = (b)^T(Q_G) + (C) \quad (8)$$

式(8)に式(7)を代入して次の式とく所要の変形公式をうる。

$$\begin{pmatrix} Q_A \\ -Q_B \end{pmatrix} = EI_0(C)(\bar{U}_A, \bar{U}_B)^T + (C^*) \quad (9)$$

ここで  $(C) = (b)^T(A)^{-1}(b), (C^*) = (C) - (b)^T(A)^{-1}(H)$

上記説明公式的係数行列  $(A)$  および荷重項に関する行列  $(H)$  の内容を明らかにするため、文献(4)で用いた符号規約をそのままで適用して個々の行列要素を求めれば、以下の式とくである。すなわち位置を指定する  $\lambda_i, \mu_i, \nu_i$  ( $i=1, 2, 3$ ) と部材形状に關する  $\bar{r}_1, \bar{r}_2, \bar{r}_3$  の諸値を下記の式とく定義導入する。

$$\text{すなわち } \lambda_1 = n_2 r_y - m_1 r_z, \quad \mu_1 = l_1 r_z - n_1 r_x, \quad \nu_1 = m_1 r_x - l_1 r_y$$

$$\lambda_2 = n_2 r_y - m_2 r_z, \quad \mu_2 = l_2 r_z - n_2 r_x, \quad \nu_2 = m_2 r_x - l_2 r_y$$

$$\lambda_3 = n_3 r_y - m_3 r_z, \quad \mu_3 = l_3 r_z - n_3 r_x, \quad \nu_3 = m_3 r_x - l_3 r_y$$

$$\bar{r}_1 = EI_0/GJ, \quad \bar{r}_2 = EI_0/EI_0, \quad \bar{r}_3 = EI_0/EI_b$$

$$\Lambda_1 = EI_0/EA r_1^2, \quad \Lambda_2 = K_m EI_0/GA r_2^2, \quad \Lambda_3 = K_b EI_0/GA r_3^2$$

$h \times b$  の矩形断面を例にとって、 $I_0 = I_b$  とおけば  $\bar{r}_1 = EI_b/GJ, \bar{r}_2 = I_b/I_0, \bar{r}_3 = 1$  および  $\Lambda_1 = (S_0 b^3 h^3) / R^3, \Lambda_2 = \Lambda_1 K_m E/G, \Lambda_3 = \Lambda_1 K_b E/G$  となる。 $\therefore R = h/S_0, A$ : Helical 部材の曲率半径

以上より  $(A)$  の行列要素  $a_{ij} (= a_{ji})$  の内容はそれぞれ次の式とく表わされることとなる。

$$\text{すなわち } a_{11} = 1/S_0 \{ \int (q r_1^2 + r_2^2 + r_3^2) ds \} \quad a_{12} = 1/S_0 \{ \int (r_2 l_1 m_1 + r_2 l_2 m_2 + r_3 l_3 m_3) ds \},$$

$$\begin{aligned}
a_{13} &= \frac{1}{S_0} \int \{(r_1 e_1 n_1 + r_2 e_2 n_2 + r_3 e_3 n_3) ds\} \\
a_{15} &= \frac{1}{S_0} \int \{(r_1 e_1 \mu_1 + r_2 e_2 \mu_2 + r_3 e_3 \mu_3) ds\} \\
a_{22} &= \frac{1}{S_0} \int \{(r_1 m^2 + r_2 m_2^2 + r_3 m_3^2) ds\} \\
a_{24} &= \frac{1}{S_0} \int \{(r_1 m_1 \lambda_1 + r_2 m_2 \lambda_2 + r_3 m_3 \lambda_3) ds\} \\
a_{26} &= \frac{1}{S_0} \int \{(r_1 m_1 v_1 + r_2 m_2 v_2 + r_3 m_3 v_3) ds\} \\
a_{34} &= \frac{1}{S_0} \int \{(r_1 n_1 \lambda_1 + r_2 n_2 \lambda_2 + r_3 n_3 \lambda_3) ds\} \\
a_{36} &= \frac{1}{S_0} \int \{(r_1 n_1 v_1 + r_2 n_2 v_2 + r_3 n_3 v_3) ds\} \\
a_{44} &= \frac{1}{S_0} \int \{(r_1 \lambda_1^2 + r_2 \lambda_2^2 + r_3 \lambda_3^2 + \Lambda_1 \lambda_1^2 + \Lambda_2 \lambda_2^2 + \Lambda_3 \lambda_3^2) ds\} \\
a_{45} &= \frac{1}{S_0} \int \{(r_1 \lambda_1 \mu_1 + r_2 \lambda_2 \mu_2 + r_3 \lambda_3 \mu_3 + \Lambda_1 \lambda_1 m_1 + \Lambda_2 \lambda_2 m_2 + \Lambda_3 \lambda_3 m_3) ds\} \\
a_{46} &= \frac{1}{S_0} \int \{(r_1 \lambda_1 v_1 + r_2 \lambda_2 v_2 + r_3 \lambda_3 v_3 + \Lambda_1 \lambda_1 n_1 + \Lambda_2 \lambda_2 n_2 + \Lambda_3 \lambda_3 n_3) ds\} \\
a_{55} &= \frac{1}{S_0} \int \{(r_1 \mu_1^2 + r_2 \mu_2^2 + r_3 \mu_3^2 + \Lambda_1 m_1^2 + \Lambda_2 m_2^2 + \Lambda_3 m_3^2) ds\} \\
a_{66} &= \frac{1}{S_0} \int \{(r_1 v_1^2 + r_2 v_2^2 + r_3 v_3^2 + \Lambda_1 n_1^2 + \Lambda_2 n_2^2 + \Lambda_3 n_3^2) ds\}
\end{aligned}
\right\} \quad (10)$$

3. (II) の 行列要素  $L_k, T_k$  ( $k = x, y, z$ ) の 内容

$$\begin{aligned}
L_x &= \frac{1}{S_0} \int \{(r_1 C_p^x + r_2 C_p^y + r_3 C_p^z) ds\} \\
L_z &= \frac{1}{S_0} \int \{(r_1 m_1 C_p^x + r_2 m_2 C_p^y + r_3 m_3 C_p^z) ds\} \\
T_x &= \frac{1}{S_0} \int \{(r_1 \lambda_1 C_p^x + r_2 \lambda_2 C_p^y + r_3 \lambda_3 C_p^z + \Lambda_1 \lambda_1 P_p^x + \Lambda_2 \lambda_2 P_p^y + \Lambda_3 \lambda_3 P_p^z\} \\
T_y &= \frac{1}{S_0} \int \{(r_1 \mu_1 C_p^x + r_2 \mu_2 C_p^y + r_3 \mu_3 C_p^z + \Lambda_1 m_1 P_p^x + \Lambda_2 m_2 P_p^y + \Lambda_3 m_3 P_p^z\} \\
T_z &= \frac{1}{S_0} \int \{(r_1 v_1 C_p^x + r_2 v_2 C_p^y + r_3 v_3 C_p^z + \Lambda_1 n_1 P_p^x + \Lambda_2 n_2 P_p^y + \Lambda_3 n_3 P_p^z\}
\end{aligned}
\right\} \quad (11)$$

以上の式(10),(11)の結果より明白なごとく軸力およびせん断力の影響因を  $\Lambda_i$  ( $i = 1, 2, 3$ ) は、(I)の要素  $a_{ij}$  ある(I)と(II)の要素  $a_{ij}'$  ある(II)は、それ補正項として入って来る。よって計算に当たる時は軸力およびせん断力を無視して文献(I)で説明した該当諸項の  $\Lambda_i$  の項を單に加算すればよい。

さて本研究の対象とする Delcoid 部材について、上述の  $a_{ij}, T_k$  の補正項を含むもの  $a_{ij}', T_k'$  を表現し、以下を算定すればそれが次式で与えられる。

$$\begin{aligned}
a_{44}' &= (\Lambda_1 \cos \alpha + \Lambda_3 \sin^2 \alpha / \cos \alpha) \int \sin^2 \theta d\theta + \Lambda_2 / \cos \alpha \int \cos^2 \theta d\theta \\
a_{45}' &= (-\Lambda_1 \cos \alpha + \Lambda_2 / \cos \alpha - \Lambda_3 \sin^2 \alpha / \cos \alpha) \int \sin \theta \cos \theta d\theta \\
a_{46}' &= (-\Lambda_1 + \Lambda_3) \sin \alpha \int \sin \theta d\theta \\
a_{55}' &= (\Lambda_1 \cos \alpha + \Lambda_3 \sin^2 \alpha / \cos \alpha) \int \cos^2 \theta d\theta + \Lambda_2 / \cos \alpha \int \sin^2 \theta d\theta \\
a_{56}' &= (\Lambda_1 - \Lambda_3) \sin \alpha \int \cos \theta d\theta \\
a_{66}' &= (\Lambda_1 \sin^2 \alpha / \cos \alpha + \Lambda_3) \int d\theta
\end{aligned}
\right\} \quad (12)$$

## 2. 数値計算例

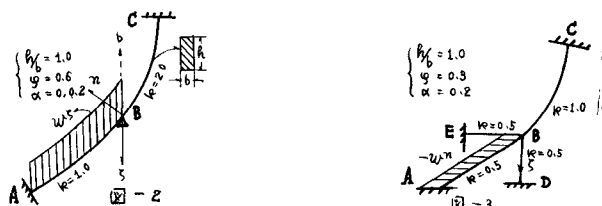


図-2に示す両端固定の2スパン連続Helicoid桁が金属性直線分布荷重 $w^5$ (b軸と逆向きを負車とす)を受ける場合と図-3の直線部材AB, BD, BEおよびHelicoid部材BCより構成される立体ラーメンが水平等分布荷重 $w^5$ を受ける例について解析する。(ただし $\theta$ : Helicoid部材の水平角,  $\alpha$ : Helicoidアングル。)

軸力およびせん断力の効果を表わすRを0, 0.02に選んで各々の場合の材端モーメントおよび反力を求めた(表-2)。斜面の都合上計算過程を省略し結果のみを表-2, 表-3にまとめた。

表-2 連続Helicoid桁の材端モーメントおよび反力(図-2参照)

	$M_{BA}^x$	$M_{BA}^y$	$M_{BC}^x$	$M_{BC}^y$	$M_{AB}^z$	$M_{BE}^z$	$M_{BC}^z$	$M_{AB}^z$	$M_{BC}^x$	$M_{BC}^y$	$F_{BA}^x$	$F_{BC}^x$	$F_{AB}^y$	$F_{BC}^y$	$F_{BC}^z$			
R=0	0.016	-0.140	0.304	-0.008	-3.660	2.076	-2.075	-1.093	0.129	0.175	-0.129	0.029	8.300	8.289	-0.029	0.273	-32.566	-5.212
R=0.02	0.014	-0.142	0.307	-0.004	-3.660	2.071	-2.094	-1.092	0.143	0.143	-0.074	-0.044	9.398	2.214	-0.316	0.487	-32.577	-5.236

$$( \times 10^{-2} a^2 w^5 )$$

表-3 Helicoid部材をもつ立体ラーメンの端モーメントおよび反力(図-3参照)

	$M_{BA}^x$	$M_{BD}^x$	$M_{BE}^x$	$M_{BC}^x$	$M_{BA}^y$	$M_{BD}^y$	$M_{BE}^y$	$M_{BC}^y$	$M_{BA}^z$	$M_{BD}^z$	$M_{BE}^z$	$M_{BC}^z$	$F_{BC}^x$	$F_{BC}^y$	$F_{BC}^z$
R=0	0.03	0.12	0.12	-0.03	2.10	2.10	0.53	4.16	851.64	-37.09	-148.36	-666.13	48924.41	9683.26	-109.13
R=0.02	0.04	0.16	0.16	-0.34	0.92	0.72	0.18	-1.62	792.69	-51.93	-207.32	-533.52	15542.45	4356.34	-35.78

$$( \times 1/200 \cdot a^2 w^5 )$$

図-2の例のごとく変形挙動の主体が軸力およびせん断力の影響の小さい軸面外変形である場合は表-2より明らかなごとくR無視による誤差は極めて微小であることが認められる。これに対して図-3の例ではRの影響に極めて大なることが表-3の結果より判読され、これは軸力およびせん断力の影響の大きさ、軸面外変形が主体となることに起因し、モーメントの絶対量が一番大きい $M^z$ 例にとれば、R無視による最大誤差は約28.5%にまで達し、また反力の場合にはそれを大目に上まわる差異を生じている。以上の結果より軸面内変形が大なる構造物における、軸力およびせん断力の影響が絶対に無視できないものであることが確認される。

結論 軸力およびせん断力無視による誤差は構造形式と荷重の種類により左右され、上述のごとき典型例を除けば誤差の大小は一概には定められず、ましてそれが安全側であるか否かは全く断定できない。ハザレにしきこの要素を無視した既往の設計計算においては、応力の過大評価による過支評価を余儀なくされ、前者では降伏応力に対して余裕がなく危険であり、後者は構造材料の不経済という結果をもたらすことにも正鵠を射る。なほ

文献 (1) T.YAMASAKI AND T.ÔTA : Three-Dimensional Slope-Deflection of Noncoplanar Member.

Proc of the 14th. J.N.C. for A.M. 1964

(2) 山崎・太田・後藤 : ハリコイド格子の解法、土木学会西部支部研究発表会論文集、昭和41年1月

“ : 連続ハリコイド格子およびハリコイド格子の解法、九大工学集報、第39巻第3号 昭和41年10月。